

3. Chisnell R. F. The motion of a shock wave in a channel, with applications to cylindrical and spherical shock wave. — J. Fluid Mech., 1957, vol. 2, p. 286.
4. Комиссарук В. А., Мартынов В. П., Менде П. П. Применение дифракционного интерферометра в баллистическом эксперименте. — ПТЭ, 1979, № 207.
5. Зейликович И. С., Комиссарук В. А. и др. О некоторых возможностях сдвиговых интерферометров при настройке на частые полосы. — ЖТФ, 1979, т. 49, вып. 3.

УДК 533.21

### АСИМПТОТИКА ДВИЖЕНИЯ ГАЗА ПРИ ЕГО ИСТЕЧЕНИИ В ЦИЛИНДРИЧЕСКУЮ ПОЛОСТЬ

Ю. В. Житников, Я. М. Каждан

(Москва)

1. В работе [1] рассмотрено истечение газа в сферическую полость. В данной работе исследуется асимптотика газодинамических функций при истечении идеального газа в цилиндрическую полость.

В возникшей в результате истечения газа в цилиндрическую полость центрированной в плоскости  $(r, t)$  волне разрежения энтропия в главном члене постоянна. Поэтому в качестве уравнения состояния принимается

$$(1.1) \quad p = Ar^\alpha.$$

В результате применения инвариантного относительно уравнений газодинамики преобразования координат и функций можно считать, что постоянная  $A = 1$  и что началу истечения соответствует радиус полости  $r_0 = 1$ , момент  $t_0 = -1$ , скорость свободной границы  $u = -1$ . Система уравнений газодинамики в этом случае имеет вид

$$(1.2) \quad (h-1) \left[ \frac{\partial c}{\partial t} + u \frac{\partial c}{\partial r} \right] + c \frac{\partial u}{\partial r} + \frac{uc}{r} = 0,$$

$$\frac{\partial u}{\partial t} + u \frac{\partial u}{\partial r} + (h-1) c \frac{\partial c}{\partial r} = 0, \quad h = (\alpha + 1)/(\alpha - 1)$$

( $u$  — скорость газа,  $c$  — скорость звука).

2. Центрированная волна разрежения в окрестности вершины  $A(r=1, t=-1)$  в главном члене будет плоской, поэтому асимптотика в окрестности представляется в виде разложения по степеням  $(t+1)$  с коэффициентами, зависящими от величины  $\xi = (r-1)/(t+1)$ :

$$(2.1) \quad f = f_0(\xi) + f_1(\xi)(t+1) \quad (f = u, c).$$

Линии  $\xi = \text{const}$  соответствуют в главном члене  $\alpha$ -характеристикам пучка, при этом величина  $\xi$  меняется от значения  $\xi = \xi_0 = -1$ , соответствующего свободной границе, до значения  $\xi = \xi_1 = u^0 + c^0$ , соответствующего разделяющей характеристике ( $u^0, c^0$  — значения невозмущенной скорости и скорости звука в точке  $A(r=1, t=-1)$ ). В результате подстановки (2.1) в систему (1.2) и сравнения коэффициентов при одинаковых степенях  $t+1$  имеем

$$(2.2) \quad u = -1 + \frac{h-1}{h} (\xi+1) + \left[ \frac{\xi+1}{h(2-h)} + \frac{3(\xi+1)^2}{h^2(3\alpha-5)} + K(\xi+1)^{h/2} \right] (t+1) + \dots,$$

$$c = \frac{\xi+1}{h} + \left[ \frac{\xi+1}{h(2-h)} - \frac{(\alpha-5)(\xi+1)^2}{2h^2(3\alpha-5)} - \frac{(\alpha-5)(\alpha-1)}{2(3\alpha-1)} K(\xi+1)^{h/2} \right] \times$$

$$\times (t+1) + \dots$$

При  $\kappa = 5/3$  и  $\kappa = 3$  ( $h = 4, 2$ ) появляются особенности. Значение постоянной определяется начальным распределением функций в невозмущенном газе в окрестности точки А. Если при  $t = -1$   $u = u^0 + u'(r + 1)$ ,  $c = c^0 + c'(r - 1)$ , то

$$K = (hc^0)^{\frac{2-h}{2}} \left[ \frac{h+2}{2h^2} u' - \frac{(h-1)(h+2)}{2h^2} c' - \frac{3(h-1)}{2h(h-4)} c^0 + \frac{u^0}{2h^2} - \frac{1}{(2-h)h} \right].$$

Важно заметить, что для начального состояния, соответствующего покою ( $u^0 = u' = c' = 0$ , и, следовательно,  $c^0 = 1/(h-1)$ ), значение

$$K = - \frac{(\kappa-1)^2(3\kappa-1)}{(\kappa-3)(3\kappa-5)} \left( \frac{2}{\kappa+1} \right)^{h/2},$$

т. е.  $K > 0$  при  $5/3 < \kappa < 3$  и  $K < 0$  при  $\kappa > 3$ .

Определение функций  $f_0, f_1$  в разложении (2.2) исходило из предположения, что

$$f_1(\xi)(t+1)/f_0(\xi) \rightarrow 0 \text{ при } t \rightarrow -1.$$

При  $\kappa < 3$  это условие выполнено на всем диапазоне изменения  $\xi$ . При  $\kappa > 3$  ( $h < 2$ ) и  $\xi \rightarrow -1$

$$c_1(\xi)(t+1)/c_0(\xi) \sim (\xi+1)^{h/2-1}(t+1) \rightarrow \infty.$$

Следовательно, при  $\kappa > 3$  определение асимптотики в окрестности точки в области, примыкающей к свободной границе  $\xi = -1$ , требует дополнительного исследования, которое проведено ниже.

3. Асимптотические формулы (2.2), когда  $1 < \kappa < 3$ , указывают на существование временного отрезка  $-1 \leq t \leq t_1$ , в течение которого скорость свободной границы постоянна. Величина  $\xi$  при этих временах на свободной границе постоянна,  $\xi = -1$ . Поэтому определение значения  $t_1$  и асимптотики в окрестности свободной границы будет исходить из разложения газодинамических функций по степеням  $\eta = \xi + 1$ . Учитывая асимптотику, полученную в п. 2, искомое разложение представим в виде

$$(3.1) \quad \begin{aligned} u &= -1 + u_1(t)\eta + u_2(t)\eta^\alpha + \dots, \quad c = \\ &= c_1(t)\eta + c_2(t)\eta^\alpha + \dots + (\kappa \neq 5/3), \end{aligned}$$

где  $\alpha = 2$  при  $1 < \kappa < 5/3$ ;  $\alpha = h/2$  при  $5/3 < \kappa < 3$ .

Уравнения, определяющие  $u_1(t)$  и  $c_1(t)$ , получены обычным способом и в предположении, что  $\eta/t \ll 1$  на всем участке интегрирования, в частности при  $t \rightarrow 0$ , а начальные данные получены из асимптотик п. 1:

$$(3.2) \quad c_1'(t+1) - c_1 + \frac{1}{2}(\kappa+1)u_1c_1 + \frac{1}{2}(\kappa-1)\frac{t+1}{t}c_1 = 0,$$

$$(3.3) \quad \begin{aligned} u_1'(t+1) - u_1 + u_1^2 + (h-1)c_1^2 &= 0, \quad 1 < \kappa < 3; \\ u_1(-1) &= 2/(\kappa+1), \quad c_1(-1) = (\kappa-1)/(\kappa+1). \end{aligned}$$

Уравнения для функций  $u_2(t), c_2(t)$ :

$$(3.4) \quad \begin{aligned} (h-1)[c_2'(t+1) - 2c_2] + (2h-1)u_1c_2 + (h+1)c_1u_2 + \\ + \frac{(t+1)}{t}(c_2 - u_1c_2 + \frac{t+1}{t}c_1) = 0, \end{aligned}$$

$$(3.5) \quad \begin{aligned} u_2'(t+1) - 2u_2 + 3u_1u_2 + 3(h-1)c_1c_2 &= 0, \quad 1 < \kappa < 5/3; \\ u_2 \simeq - \frac{3(\kappa-1)^2}{(\kappa+1)^2(3\kappa-5)}(t+1), \quad c_2 \simeq \frac{(5-\kappa)(\kappa-1)^2}{2(\kappa+1)^2(3\kappa-5)}(t+1) \text{ при } t \rightarrow -1; \end{aligned}$$

$$(3.6) \quad \frac{2}{\kappa-1} c_2'(t+1) + \left[ \left( \frac{\kappa+1}{(\kappa-1)^2} + 1 \right) u_1 - \frac{(\kappa+1)}{(\kappa-1)^2} \right] c_2 + \frac{5+\kappa}{2(\kappa-1)} c_1 u_2 + \\ + \frac{t+1}{t} c_2 = 0,$$

$$u_2'(t+1) - \frac{1}{2} \frac{\kappa+1}{\kappa-1} u_2 + \frac{3\kappa-1}{2(\kappa-1)} u_1 u_2 + \frac{3\kappa-1}{(\kappa-1)^2} c_1 c_2 = 0, \quad 5/3 < \kappa < 3;$$

$$(3.7) \quad u_2 \simeq K(t+1), \quad c_2 = -\frac{(\kappa-1)(\kappa+5)}{2(3\kappa-1)} K(t+1) \text{ при } t \rightarrow -1.$$

**Теорема.** Если  $1 < \kappa < 2$ , то функции  $u_1(t)$  и  $c_1(t)$  на интервале  $-1 < t < 0$  конечны и отличны от нуля. Если  $2 < \kappa < 3$ , то существует значение  $t_1 = t_1(\kappa)$ ,  $-1 < t_1 < 0$ , такое, что  $u_1(t)$  и  $c_1(t)$  стремятся к бесконечности при  $t \rightarrow t_1$ .

Пусть

$$(3.8) \quad c_1(t) = \frac{t+1}{t} \bar{M}(\bar{t}), \quad u_1(t) = \frac{1+t}{t} L(t),$$

тогда функции  $M(t)$  и  $L(t)$ , согласно (3.2), (3.3), определяются системой

$$(3.9) \quad \frac{dM}{dL} = \frac{M[(\kappa+1)L + (\kappa-3)]}{2(L^2 - L + (h-1)M^2)}, \quad M = -\infty, \quad L = -\infty;$$

$$(3.10a) \quad t = -\exp\left(-\int_{-\infty}^M \frac{2dM}{M[(\kappa+1)L + (\kappa-3)]}\right);$$

$$(3.10b) \quad t = -\exp\left(-\int_{-\infty}^L \frac{dL}{L^2 - L + (h-1)M^2}\right).$$

Так как  $c > 0$  и  $\eta > 0$ , то  $M < 0$ . Асимптотика искомой интегральной кривой ( $l$ ) в окрестности узла ( $M = -\infty$ ,  $L = -\infty$ ) имеет вид

$$(3.11) \quad L = \frac{2}{\kappa-1} M + \frac{\kappa-4}{2-\kappa} + \frac{2-\kappa}{2} \left( \frac{\kappa-4}{2-\kappa} \right)^2 \frac{1}{M} + \\ + \frac{(\kappa-1)^2(5-3\kappa)(2-\kappa)}{(5+\kappa)(3-\kappa)^3} \frac{1}{M^2} + \dots$$

Ось  $M = 0$  является интегралом уравнения (3.9). В полуплоскости  $M \leq 0$  особыми точками уравнения (3.9) будут:

$$O(L=0, M=0), \quad A(L=1, M=0), \quad (L=\pm\infty, M=-\infty),$$

$$C\left(L = \frac{3-\kappa}{\kappa+1}, \quad M = -\frac{\kappa-4}{\kappa+1} \sqrt{3-\kappa}\right).$$

**Лемма.** В полуплоскости  $M < 0$  интегральная кривая ( $l$ ) при  $1 < \kappa < 2$  достигает точки  $O$ , нигде не пересекая изоклины нуля — прямой ( $g$ ):  $L = (3-\kappa)/(\kappa+1)$ ; при  $\kappa = 2$  совпадает с прямой  $L = 2M + 1$ ; при  $2 < \kappa < 3$  пересекает прямую ( $g$ ) ниже точки  $C$ , нигде не пересекая изоклины бесконечности — эллипса ( $f$ ):

$$L^2 - L + (h-1)M^2 = 0.$$

**Доказательство леммы.** В области  $L < 0$ ,  $M < 0$  интегральная кривая ( $l$ ) лежит над гиперболой ( $d$ ):  $L^2 - L = (h-1)^2 M^2$ , если  $1 < \kappa < 5/3$ , совпадает с ней при  $\kappa = 5/3$  и расположена под ней, если  $5/3 < \kappa < 2$ . Это следует из знака асимптотического значения разности между величинами  $L$  при одном и том же значении  $M$  кривых ( $l$ ) и ( $d$ ) в окрестности точки ( $L = -\infty$ ,  $M = -\infty$ )

$$L(l) - L(d) \simeq (5-3\kappa)/2(3-\kappa)$$

и знака разности между значениями правой части уравнения (3.9) на кривой (d) и тангенса угла наклона касательной к кривой (d)

$$\frac{dM}{dL} - \left(\frac{dM}{dL}\right)_d = \frac{(3\kappa - 5)M}{4(L^2 - L + (h - 1)M^2)}.$$

Кривая (l) может попасть в точку O согласно одной из асимптотик

$$(3.12a) \quad L \simeq C(M)^{2/(3-\kappa)}; \quad (3.12b) \quad L \simeq \frac{2}{(\kappa - 2)(\kappa - 1)} M^2.$$

Асимптотика кривой (d) в окрестности O(0, 0) будет

$$(3.13) \quad L \simeq -(h - 1)M^2.$$

Разность между (3.12b) и (3.13) положительна при  $1 < \kappa < 5/3$  и отрицательна при  $5/3 < \kappa < 2$ , поэтому при  $1 < \kappa < 5/3$  интегральная кривая (l) расположена между интегралом  $M = 0$  и гиперболой (d) (фиг. 1) и попадает в точку O(0, 0) согласно асимптотике (3.12a) при некотором отрицательном значении постоянной C, зависящем от показателя  $\kappa$ : при  $5/3 < \kappa < 2$  интегральная кривая не может попасть в точку O(0, 0) со стороны  $M < 0$  и поэтому пересекает ось  $L = 0$  при значении  $M < 0$ . Гипербола (h) :  $L^2 - L = (h - 1)^2 M^2 + (h - 1)(3\kappa - 5)M / (3 - \kappa)$  до пересечения с изоклиной нуля (g) или изоклиной бесконечности (f) расположена под интегральной кривой (l) при  $5/3 < \kappa < 2$  и над ней при  $2 < \kappa < 3$ . Это следует из знака асимптотического значения разности между величинами L при одном и том же значении M в окрестности точки ( $L = -\infty, M = -\infty$ )

$$L(l) - L(h) \simeq \frac{(2 - \kappa)(\kappa - 1)^3(5 - 3\kappa)}{8(3 - \kappa)^2(5 + \kappa)} \frac{1}{M^2}$$

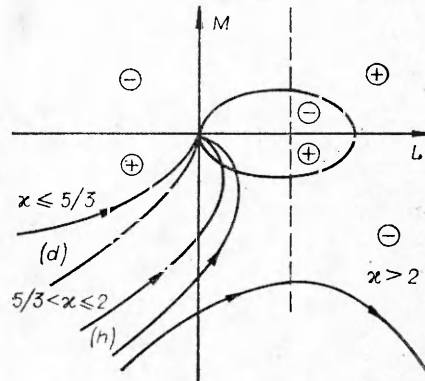
и знака разности между значением правой части уравнения (3.9) на кривой (h) и тангенсом угла наклона касательной к кривой (h)

$$(3.14) \quad \frac{dM}{dL} - \left(\frac{dM}{dL}\right)_h = \frac{(3\kappa - 5)M^2[(\kappa - 3)L + (\kappa - 1) + (h - 1)(3 - \kappa)M]}{[4(h - 1)(3 - \kappa)M^2 + 2(3\kappa - 5)M](L^2 - L + (h - 1)M^2)}.$$

При  $\kappa > 5/3$  знак разности (3.14) положителен и отрицателен при  $\kappa < 2$ . Действительно, знаменатель (3.14) положителен вне изоклины бесконечности (f), ибо он больше нуля при  $M < M_0 = [(5 - 3\kappa)(\kappa - 1)] / [4(3 - \kappa)]$ , а  $M_0 > M_1 = (5 - 3\kappa) / (3 - \kappa)h$  — координаты точки пересечения кривых (f) и (h). Числитель (3.14), приравненный к нулю, совпадает с уравнением асимптоты гиперболы (h), поэтому его знак, а следовательно, и знак разности (3.14) определяются в результате подстановки какой-либо точки, принадлежащей соответствующей ветви гиперболы (h), например ( $L = 0, M = [(3\kappa - 5)(\kappa - 1)] / [2(3 - \kappa)]$ ), и при  $\kappa > 5/3$  совпадает со знаком дроби  $(2 - \kappa) / (3 - \kappa)$ . Далее, гипербола (h) пересекается с изоклиной (f) в точке ( $L_1, M_1$ ), лежащей левее (правее) изоклины нуля (g), если  $5/3 < \kappa < 2$  (если  $2 < \kappa < 3$ ). Это следует из квадратного уравнения, определяющего величину  $X = L_1 - (3 - \kappa) / (\kappa + 1)$ :

$$X^2 + \frac{5 - 3\kappa}{\kappa + 1} X + \frac{8(\kappa - 2)}{h^2(3 - \kappa)^2} = 0.$$

Следовательно, при  $5/3 < \kappa < 2$  интегральная кривая (l) после пересече-



Ф и г. 1

ния оси  $L = 0$  пересекает изоклину  $\infty - (f)$  и, согласно схеме изоклин (см. фиг. 1), попадает в точку  $O(0, 0)$ . Так как  $L > 0$ , то асимптотикой будет (3.12а). При  $\kappa = 2$  интегральная кривая ( $l$ ) совпадает с прямой  $L = 2M + 1$ . При  $2 < \kappa < 3$  интегральная кривая ( $l$ ) не пересекает изоклину бесконечности ( $f$ ), а пересекает изоклину нуля ( $g$ ), после чего уходит в точку ( $L = \infty, M = -\infty$ ), ибо точка пересечения гиперболы ( $h$ ) с прямой ( $g$ ) лежит левее точки пересечения гиперболы ( $h$ ) с эллипсом ( $f$ ), а интегральная кривая ( $l$ ) лежит под гиперболой ( $h$ ) (схема изоклин на фиг. 1).

**Доказательство теоремы.** При  $1 < \kappa < 2$  кривая ( $l$ ) при изменении  $M$  от  $-\infty$  до  $0$  нигде не пересекает изоклины нуля ( $g$ ). Согласно квадратуре (3.10а), вдоль кривой ( $l$ ) величина  $t$  меняется монотонно от  $-1$  до  $0$ , причем при  $M \rightarrow 0$  величина  $t \sim M^{2/(3-\kappa)}$  или  $M \sim t^{(3-\kappa)/2}$ , в силу асимптотики (3.12а) величина  $L \sim t$ . Следовательно, согласно (3.8), функции  $u_1(t)$  и  $c_1(t)$  остаются конечными на интервале  $-1 < t < 0$ , причем при  $t = 0$  функция  $u_1(t)$  остается конечной, а  $c_1(t)$  обращается в бесконечность

$$(3.15) \quad c_1(t) \sim t^{(1-\kappa)/2}.$$

При  $\kappa = 2$  функции  $u_1(t)$  и  $c_1(t)$  выписываются явно:

$$u_1(t) = (1+t)(2t-1)/3t, \quad c_1(t) = (t+1)^3/3t.$$

При  $2 < \kappa < 3$  кривая ( $l$ ) нигде не пересекает изоклину бесконечности, поэтому интеграл, стоящий под знаком экспоненты в квадратуре (3.10б), все время растет, оставаясь конечным при изменении  $L$  от  $-\infty$  до  $+\infty$ . Следовательно, значение  $t$  монотонно растет от  $-1$  до  $t_1 < 0$ . При  $t \rightarrow t_1$  функции  $L$  и  $M$  стремятся к бесконечности согласно асимптотикам:

$$L \simeq -\frac{2}{\kappa+1} \frac{t_1}{t_1-t}, \quad M \simeq \frac{\kappa-1}{\kappa+1} \frac{t_1}{t_1-t}.$$

Соответственно  $u_1(t)$  и  $c_1(t)$  стремятся к бесконечности согласно асимптотикам:

$$(3.16) \quad u_1(t) \simeq -\frac{2}{\kappa+1} \frac{1+t_1}{t_1-t}, \quad c_1(t) \simeq \frac{\kappa-1}{\kappa+1} \frac{1+t_1}{t_1-t}.$$

*Замечание.* Функция  $u_1(t)$  монотонно убывает, а функция  $c_1(t)$  монотонно растет на интервале  $-1 < t < t_1$ . Действительно, при  $t = -1$   $u_1'(t) < 0$ , а  $c_1'(t) > 0$ . Производная  $c_1'(t)$  не может обратиться в нуль при  $t = t_0$ , если при  $t < t_0$   $u_1'(t) < 0$ , ибо при этом  $c_1(t_0) > 0$  и  $c_1''(t_0) = -\frac{1}{2}(\kappa+1)u_1'(t_0)c_1(t_0) + \frac{\kappa-1}{2t_0^2}c_1(t_0) > 0$ . Аналогично  $u_1'(t)$  не может обратиться в нуль при  $t = t_{00}$ , если  $c_1'(t) < 0$  при  $t \leq t_{00}$ , ибо при этом

$$u_1''(t_{00}) = -\frac{4}{\kappa+1}c_1(t_{00})c_1'(t_{00}) < 0.$$

*Исследование функций  $u_2(t), c_2(t)$ .* Функции  $u_2(t), c_2(t)$  являются решениями систем линейных уравнений, коэффициенты и правые части которых — непрерывные функции  $t, u_1(t)$  и  $c_1(t)$ . Следовательно,  $u_2(t)$  и  $c_2(t)$  конечны на тех же интервалах, что и  $u_1(t)$  и  $c_1(t)$ . Из системы (3.4) и асимптотики (3.15) следует, что при  $1 < \kappa < 5/3$  и  $t \rightarrow 0$   $u_2(t) \sim t^{1-\kappa}$ ,  $c_2(t) \sim t^{-(1+\kappa)/2}$ . Из системы (3.6), (3.7) и асимптотики (3.15) следует, что при  $5/3 < \kappa < 2$  и  $t \rightarrow 0$   $u_2(t)$  конечно, а  $c_2(t) \sim t^{(1-\kappa)/2}$ . Система (3.5) инвариантна относительно преобразования  $u_2 = KV_2, c_2 = KW_2$ . При этом функции  $V_2(t)$  и  $W_2(t)$  не зависят от значения  $K$ . Используя монотонность

функций  $u_1(t)$  и  $c_1(t)$ , так же, как и в предыдущем замечании, можно доказать, что функция  $V_2(t)$  монотонно возрастает, а  $W_2(t)$  монотонно убывает на интервале  $-1 < t < t_1$ . Из системы (3.6), (3.7) и асимптотики (3.16) следует, что при  $t \rightarrow t_1$

$$V_2 \simeq L(h-1)(t_1-t)^{-(h+2)/2}, \quad W_2 \simeq -L(t_1-t)^{-(h+2)/2}, \\ L > 0$$

и в силу монотонности функций  $V_2(t)$  и  $W_2(t)$  постоянная  $L > 0$ . Следовательно, асимптотика функций  $u_2(t)$  и  $c_2(t)$  при  $t \rightarrow t_1$  имеет вид

$$u_2 \simeq KL(t_1-t)^{-(h+2)/2}, \quad c_2 \simeq -\frac{1}{(h-1)}KL(t_1-t)^{-(h+2)/2}, \quad L > 0.$$

Уравнения (3.2) получены в предположении малости величины  $\eta/t$ . Если еще учесть отношение последующих членов к предыдущим, то на временном интервале  $-1 < t < t_1(\kappa)$  полученными формулами (3.1) для асимптотики в окрестности свободной границы можно пользоваться лишь при условии малости величины  $\eta/t$  при  $1 < \kappa < 2$  и величины  $\eta^{h-2}(t_1-t)^{-h}$  при  $2 < \kappa < 3$ .

4. Для получения асимптотики при  $1 < \kappa < 2$  в полной окрестности точки  $O(r=0, t=0)$  газодинамические функции представляются в виде

$$(4.1) \quad u = u(s), \quad c = r^{(3-\kappa)/2} c(s), \quad \text{где } s = (r+t)/t.$$

Такое представление исходит из полученной асимптотики в окрестности свободной границы для этого диапазона  $\kappa$  при  $r \rightarrow 0, t \rightarrow 0$

$$(4.2) \quad u \simeq -1, \quad c \simeq -D \left( \frac{r+t}{t} \right) r^{(3-\kappa)/2},$$

причем ее справедливость ограничена условием малости  $\eta/t$ , что при  $r \rightarrow 0$  и  $t \rightarrow 0$  эквивалентно малости  $s$ . Величина  $s$  меняется от  $s=0$  на свободной границе до  $s=-\infty$  при  $t \rightarrow -0$  и от  $s=+\infty$  при  $t \rightarrow +0$  до  $s=1(r=0, t>0)$ . При  $r \rightarrow 0$  уравнения, определяющие функции  $u(s)$  и  $c(s)$ , имеют вид

$$(4.3) \quad u' = 0, \quad c'[(s-1)^2 + (s-1)] = -c.$$

С учетом асимптотики при  $s \rightarrow 0$  (она следует из (4.2)) решением (4.3) будет

$$(4.4) \quad u = -1, \quad c = Ds/(s-1).$$

Полученное решение справедливо не в полной окрестности точки  $O$ , так как на оси при  $t > 0$ , согласно (4.1), (4.4),  $c \sim r^{(1-\kappa)/2} \rightarrow \infty$ . Возникает идущая от оси отраженная ударная волна. Так как перед фронтом  $\rho \sim r^{(3-\kappa)/(\kappa-1)}$ ,  $u \simeq -1$ , то за фронтом решение ищется в виде

$$(4.5) \quad u = u(s), \quad \rho = r^{(3-\kappa)/(\kappa-1)} \rho(s), \quad p = r^{(3-\kappa)/(\kappa-1)} p(s) \rightarrow \\ \rightarrow c = c(s).$$

Можно видеть, что ударная волна будет бесконечной интенсивности и течение за фронтом не будет изэнтропичным. Энтропийная величина  $A$  представляется в виде

$$A = r^{\kappa-3} A(s).$$

Функции  $u(s)$ ,  $c(s)$ ,  $A(s)$  определяются системой уравнений:

$$(4.6) \quad (s-1)[u - (s-1)]A' = (3-\kappa)uA, \\ 2c'[u(s-1) - (s-1)^2] + (\kappa-1)(s-1)cu' + (\kappa-1)uc = 0, \\ \kappa(u-s+1)[(\kappa-1)(s-1)(u-s+1)u' + 2cc'] - (3-\kappa)(s-1)c^2 = 0$$

и граничными условиями на фронте  $s = s_b$  и на оси  $s = 1$ :

$$(4.7) \quad u(s_b) = -1 + \frac{h-1}{h} s_b, \quad c(s_b) = \frac{\sqrt{h+1}}{h} s_b, \quad u(1) = 0, \quad c(1) = \\ = \text{const} \neq 0.$$

Система (4.6) имеет первый интеграл

$$A^{2/(3-\kappa)} c^{2/(\kappa-1)} \left( \frac{u}{s-1} - 1 \right) = \text{const}.$$

Используя его, при помощи замены

$$(4.8) \quad c^2 = L(s-1)^2, \quad u = (s-1)(K+1)$$

систему (4.6) сведем к уравнению и к квадратуре:

$$(4.9) \quad \frac{dL}{dK} = \frac{L[(1-\kappa)\kappa(K^2+LK) - (3-\kappa)L - \kappa(\kappa+1)K(K^2-L)](\kappa-1)}{K[(K^2+LK)\kappa(\kappa-1) + (3-\kappa)L - (\kappa-1)\kappa(2+K)(K^2-L)]},$$

$$(4.10) \quad \frac{dK}{ds} = \frac{L[2\kappa(\kappa-1)(K+1) + (3-\kappa)] - \kappa(\kappa-1)(K+1)K^2}{\kappa(\kappa-1)(K^2-L)(s-1)}.$$

Согласно (4.7), (4.8),  $L(1) = \infty$ , а из (4.10) следует, что  $K(1) = -(1 + (h-2)/2\kappa) = K_0$ . Точка  $(L = \infty, K = K_0)$  — особая точка уравнения (4.9) типа седла, и искомая интегральная кривая совпадает с его сепаратрисой, выходящей из этой точки согласно направлению:

$$L = \frac{\kappa K_0^3 (K_0 + 1)}{[4\kappa K_0 - (3 - \kappa)](K - K_0)}$$

до ее пересечения с параболой  $L = (h+1)K^2$ , на которой лежит точка, соответствующая ударной волне. Квадратура (4.10) дает соответствующее фронту волны значение  $s = s_b$ . На фронте ударной волны значения  $u$  и  $c$  будут конечными, а давление и плотность порядка  $r^{(3-\kappa)/(\kappa-1)}$ . На оси ( $r = 0, t > 0$ )  $u = 0, p \sim t^{(3-\kappa)/(\kappa-1)}, A(s) = \infty, \rho = 0$ .

5. При  $2 < \kappa < 3$  асимптотическое представление функций в окрестности точки свободной границы ( $t = t_1, r = r(t_1)$ ) принимается в виде

$$(5.1) \quad c = \frac{1+t}{h} (t_1 - t)^{2/(h-2)} z^{h/(h-2)} f_1(z), \quad u = -1 - \frac{h-4}{h} (1+t_1) \times \\ \times (t_1 - t)^{2/(h-2)} f_2(z), \quad z = \eta^{(h-2)/h} / (t_1 - t).$$

Это представление исходит из полученной в п. 3 асимптотики в окрестности свободной границы и условия ее применимости. Уравнения, определяющие функции  $f_1(z)$  и  $f_2(z)$ , имеют вид

$$(5.2) \quad \frac{df_1}{df_2} = \frac{(h-2)f_1^2 + (h-1)^2(2-h)f_2^2 + h(2h^2-4h+4)f_2 - h^3}{(h-1)^2[(2-h)f_2^2 + 2hf_2^2] + (h-2)f_1^2 f_2 + 2hf_1^2 - h^2 f_2},$$

$$(5.3) \quad z \frac{df_1}{dz} = -f_1 \frac{h(h-2)f_1^2 + h(h-1)^2(2-h)f_2^2 + h^2(2h^2-4h+4)f_2 - h^4}{(h-2)^2 f_1^2 - [h^2 + (h-1)(2-h)f_2]^2}.$$

При  $t < t_1$  свободной границе соответствует значение  $z = +0$ , и, согласно полученной в п. 3 асимптотике, при  $z \rightarrow +0$

$$(5.4) \quad f_1(z) \simeq 1 - \frac{KLh}{1+t_1} z^{h/2}, \quad f_2(z) = 1 - \frac{KLh}{1+t_1} z^{h/2}.$$

Искомым решением будет интегральная кривая, имеющая при  $z \rightarrow +0$  асимптотику (5.4) и удовлетворяющая при некотором значении  $z > 0$

условиям на свободной границе. Выписанная система имеет точное решение с асимптотикой (5.4) при  $z \rightarrow 0$

$$f_1 = f_2, \quad f_1(f_1 - 1) = \left( \frac{LKh}{1+t_1} \right)^{-2/h} \frac{1}{z},$$

совпадающее с искомым решением на некотором интервале значений  $z$ . Искомое решение определяется в результате исследования уравнения (5.2). Схема изоклин нанесена на фиг. 2. Для однозначности функций  $f_1(z)$  и  $f_2(z)$  интегральная кривая ( $l$ ) уравнения (5.2) не должна пересекать прямых  $L_{1,2}$  вне особых точек уравнения (5.3):

$$(L_{1,2}) f_1 = \pm \frac{1}{2-h} [h^2 + (h-1)(2-h)f_2].$$

Изоклинами нуля уравнения (5.2) будут прямая  $f_2 = 0$  и гипербола

$$f_1^2 = (h-1)^2 (f_2 - f_1^-) (f_2 - f_1^+), \quad f_1^\pm = - \frac{h(h^2 - 2h + 2 \pm \sqrt{3h^2 - 6h + 4})}{(h-1)^2(2-h)}.$$

Изоклиной бесконечности будет кривая

$$f_1^2 = \frac{(h-1)^2(h-2)}{2h+(h-2)f_2} f_2 (f_2 - f_2^-) (f_2 - f_2^+), \quad f_2^- = \frac{h}{h-1}, \quad f_2^+ = \frac{h^2}{(h-2)(h-1)}.$$

Можно видеть, что

$$f_1^+ > f_1^-, \quad f_2^+ > f_2^-, \quad f_1^+ > f_2^+, \quad f_1^- < f_2^-.$$

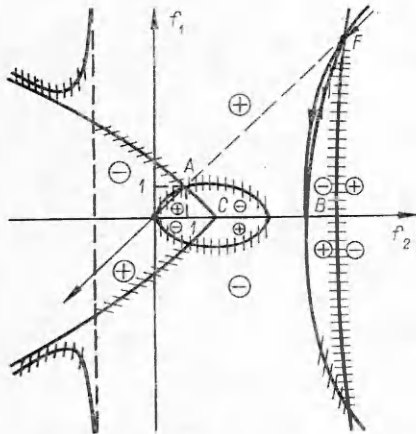
Особые точки уравнения (5.2):

$$A(f_1 = 1, f_2 = 1), \quad B(f_1 = 0, f_2 = f_2^+), \quad C(f_1 = 0, f_2 = f_2^-),$$

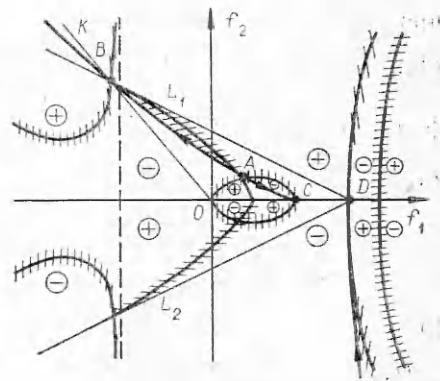
$$F \left( f_1 = \frac{h^2}{(2-h)^2}, f_2 = \frac{h^2}{(2-h)^2} \right).$$

Дальнейшее исследование проводится в зависимости от знака  $K$ .

А.  $K > 0$ . Искомая интегральная кривая уравнения (5.2) соединяет точки  $A$  и  $F$  отдельным усом узла  $F$  — интегралом  $\dot{f}_1 = f_2 (-\infty \leq f_2 \leq 1, h^2/(h-2)^2 = f_{1F} \leq f_1 < \infty)$  — и точки  $F$  и  $B$  сепаратрисой седла  $B$ , отличной от интеграла  $\dot{f}_1 = 0$  (см. фиг. 2). Значению  $\dot{f}_1 = 0$  соответствует  $z = \infty$ , т. е.  $t = t_1$ . Возникающий при этом излом интегральной кривой в узле  $B$  допустим, ибо точке  $B$  соответствует характеристика исходной газодинамической системы. Уравнение свободной границы при  $t_1 < t < t_1 + \varepsilon$  и достаточно малом  $\varepsilon$  в главном члене будет  $z = z_B$ , где



Фиг. 2



Фиг. 3



$z_B$  — значение  $z$ , соответствующее точке  $B$ . Выполнение соответствующих условий на свободной границе следует из асимптотических формул при  $z \rightarrow z_B$ :

$$f_1^2 \sim -\frac{4h^4(z-z_B)}{(h-2)^3(h-1)z_B}, \quad f_2 \approx \frac{h^2}{(h-1)(h-2)} - \frac{2h^2(3h-2)}{(h^2-1)(h-2)^2}(z-z_B).$$

Асимптотика газодинамических функций в окрестности точки свободной границы ( $r_1 = r(t_1)$ ,  $t_1$ ) выглядит следующим образом:

$$u \approx -1 - \frac{h}{h-2}(1+t_1)|z_B|^{h/(h-2)}(t_1-t)^{2/(h-2)} + \frac{2h(3h-2)}{(h+1)(h-2)^2}(1+t_1) \times \\ \times |z_B|^{h/(h-2)}(t-t_1)^{2/(h-2)}\left(\frac{z}{z_B} - 1\right), \\ c \approx \frac{2h}{h-2}(1+t_1)|z_B|^{(h+2)/2(h-2)}(t-t_1)^{2/(h-2)} \sqrt{\frac{z_B-z}{(h-2)(h-1)}}.$$

Таким образом, вдоль свободной границы  $z = z_B$  при  $t > t_1$  скорость начинает возрастать.

Б.  $K < 0$ . В этом случае, согласно асимптотике (5.4), движение по интегральной кривой происходит в сторону возрастания  $f_1$ . При достижении точки  $F$  ( $f_1 = f_2 = \frac{h}{h-2}$ ) функции  $f_1(z)$  и  $f_2(z)$  перестают быть однозначными, так как эта точка, не будучи особой для уравнения (5.3), лежит на ее изоклине бесконечности: прямой  $L_2$ . При этом  $\beta$ -характеристики пересекаются и имеют в плоскости  $r, t$  огибающую  $z = z_F$ , где  $z_F$  — значение  $z$ , соответствующее точке  $F$ . Следовательно, возникает ударная волна, выходящая на свободную границу в момент  $t = t_1$  и придающая ей бесконечное ускорение.

6. При  $\kappa > 3$  полученная в п. 2 асимптотика (2.2) при  $\xi \rightarrow -1$ ,  $t \rightarrow -1$  справедлива лишь в той части, где достаточно велики значения  $\eta = (\xi + 1)(1 + t)^{2/(h-2)}$ , и при  $\eta \rightarrow \infty$  в главных членах она имеет вид

$$(6.1) \quad u \simeq -1 + \frac{h-1}{h}(1+\xi) \left[ 1 + \frac{\kappa+1}{2} K \eta^{(h-2)/2} \right], \quad c \simeq \\ \simeq \frac{1}{h}(\xi+1) \left[ 1 - \frac{(\kappa+1)(\kappa+5)}{2(3\kappa-1)} K \eta^{(h-2)/2} \right].$$

С учетом формулы (6.1) асимптотика в полной окрестности точки ( $r = 1$ ,  $t = -1$ ) представляется в виде

$$(6.2) \quad u \simeq -1 + \frac{h-1}{h}(\xi+1)f_1(\eta), \quad c \simeq \frac{1}{h}(\xi+1)f_2(\eta)$$

при  $(\xi+1) \rightarrow 0$  и конечных значениях  $\eta$ . Согласно (6.1), при  $\eta \rightarrow \infty$

$$(6.3) \quad f_1(\eta) \simeq 1 + \frac{\kappa+1}{2} K \eta^{(h-2)/2}, \quad f_2(\eta) = 1 - \frac{(\kappa+1)(\kappa+5)}{2(3\kappa-1)} K \eta^{(h-2)/2},$$

функции  $f_1(\eta)$  и  $f_2(\eta)$  должны удовлетворять уравнениям:

$$(6.4) \quad \frac{df_2}{df_1} = \\ = -f_2 \frac{(4-h)h^2 - (2-h)f_2^2 - h(-2h^2 + 8h - 4)f_1 + (2-h)(h-1)^2 f_1^2}{2hf_2^2 + (2-h)f_1 f_2^2 + 2h(h-1)(3-h)f_1^2 + (h-1)^2(h-2)f_1^3 - h^2(4-h)f_1};$$

$$(6.5) \quad \eta \frac{df_2}{d\eta} = -f_2 \frac{(h-2)[(4-h)h^2 - (2-h)f_2^2 + h(2h^2 - 8h + 4)f_1 + (2-h)(h-1)^2 f_1^2]}{(2-h)^2 f_2^2 - [(4-h)h + (h-2)(h-1)f_1]^2},$$

асимптотике (6.3) и при некотором значении  $\eta = \eta_1$  условиям на свободной границе. Как и в п. 5, решение задачи сосредоточено в определении интегральной кривой уравнения (6.4)  $f_2 = f_2(f_1)$ , соединяющей точки  $f_1 = f_2 = 1$  с точкой  $f_1(\eta_1)$ ,  $f_2(\eta_1)$ , соответствующей свободной границе. На фиг. 3 нанесены схема изоклин нуля и бесконечности уравнения (6.4), особые точки этого уравнения, его интеграл — прямая ( $K$ ):  $f_2 = -f_1$  — и изоклины бесконечности уравнения (6.5), прямые  $L_{1,2}: f_2 = \pm \frac{1}{2-h} [(h-2)(h-1)f_1 + (4-h)h]$ . В силу единственности искомая интегральная кривая ( $l$ ) может пересечь прямую ( $K$ ) лишь в особых точках уравнения (6.4) и для однозначности решения — прямые ( $L_{1,2}$ ) лишь в особых точках уравнения (6.5). Согласно определению (6.2), функция  $f_2(\eta) \geq 0$  при  $\eta \geq 0$ . Изоклинами нуля будут интеграл  $f_2 = 0$  и гипербола

$$f_2^2 = (h-1)^2 (f_1 - f_{10})(f_2 - f_{20}), \text{ где } f_{i0} = \frac{h(-h^2 + 4h - 2 \pm \sqrt{5 - (h-3)^2})}{(h-1)^2(2-h)} \quad (i = 1, 2),$$

изоклиной бесконечности будет кривая

$$f_2^2 = \frac{(f_1 - f_{1\infty})(f_2 - f_{2\infty})f_1}{h(2-h)f_1 + 2} h(2-h), \text{ где } f_{1\infty} = \frac{h}{h-1}, \quad f_{2\infty} = \frac{h(4-h)}{(h-1)(2-h)},$$

причем  $f_{10} < f_{1\infty} < f_{2\infty} < f_{20}$ . Особые точки уравнения (6.4):  $A(f_1 = f_2 = 1)$  — седло,  $B\left(f_1 = \frac{-h(4-h)}{(2-h)^2}, f_2 = \frac{h(4-h)}{(2-h)^2}\right)$  — узел,  $C\left(f_1 = \frac{h}{h-1}, f_2 = 0\right)$  — узел,  $D\left(f_1 = \frac{h-h}{2-h}, f_2 = 0\right)$  — седло,  $E(f_1 = \pm \infty, f_2 = \mp \infty)$  — дикритические узлы,  $O(f_1 = f_2 = 0)$  — узел.

Приведенное на фиг. 3 взаимное расположение точек и линий получается в результате несложных выкладок. Согласно асимптотике (6.3), интегральная кривая ( $l$ ) выходит из седла  $A$  по его сепаратрисе по направлению

$$df_2/df_1 = -(x+5)/(3x-1),$$

причем при  $K > 0$  в сторону возрастания, а при  $K < 0$  — убывания величины  $f_1$ .

А.  $K > 0$ . Сепаратриса седла  $A$ , совпадающая с кривой ( $l$ ), неминуемо достигает точки  $C$ , так как  $f_2 = 0$  — интеграл уравнения (6.4). Согласно квадратуре (6.5), при изменении  $f_2$  от 1 до 0 значение  $\eta$  меняется от  $\infty$  до 0, причем при  $\eta \rightarrow 0$  функция  $f_2 \sim \eta^{-2/(h-1)(h-2)}$ , а  $f_1 \sim h/(h-1)$ . Линия  $\eta = 0$  соответствует свободной границе. Это следует из представления (6.2) и приведенных асимптотик при  $\eta \rightarrow 0$ .

Б.  $K < 0$ . Искомая интегральная кривая уравнения (6.4) из седла  $A$  по его сепаратрисе, идущей в сторону убывания величины  $f$ , попадает в узел  $B$ . Из узла  $B$  через бесконечно удаленный дикритический узел  $E$  интегральная кривая по сепаратрисе седла  $D$ , отличной от интеграла  $f_2 = 0$ , попадает в точку  $D$  (см. фиг. 3). Возникающий при этом излом интегральной кривой в узле  $B$  допустим, ибо точка  $B$  соответствует характеристике исходной газодинамической системы. Уравнение свободной границы при  $-1 < t < -1 + \varepsilon$  и достаточно малом  $\varepsilon$  в главном члене будет  $\eta = \eta_D$ ,  $\eta_D < 0$ , где  $\eta_D$  — значение  $\eta$ , соответствующее точке  $D$ . Выполнение соответствующих условий на свободной границе следует из получающихся в окрестности точки  $D$  и значения  $\eta_D$  асимптотик:

$$f_2 \approx -\sqrt{\frac{(h+1)(4-h)}{2+h} \left( f_1 - \frac{(4-h)h}{(2-h)(h-1)} \right)}, \quad f_2^2 \approx \frac{-4(4-h)h^2}{(2-h)^2(h-1)\eta_D} (\eta - \eta_D).$$

Из асимптотики полученного уравнения свободной границы в плоскости  $rt$

$$r \approx -t + \eta_D(1+t)^{(4-h)/(2-h)}$$

следует, что движение свободной границы при  $t > -1$  ускорено.

Основной результат исследования: скорость свободной границы остается постоянной на временном интервале  $(t_0, t_1)$ , где момент  $t_0$  соответствует началу истечения, а момент  $t_1$  совпадает с моментом  $t_\Phi$  прихода свободной границы на ось цилиндра, если показатель адиабаты  $\kappa \leq 2$ , и  $t_1 < t_\Phi$ , если  $\kappa > 2$ . В частности, при  $\kappa > 3$  момент  $t_1$  совпадает с моментом  $t_0$ , если газ до начала истечения покоился.

Поступила 10 VI 1980

#### ЛИТЕРАТУРА

1. Каждан Я. М. Асимптотика сходящейся волны разрежения. — В кн.: Труды секции по численным методам в газовой динамике II Междунар. коллоквиума по газодинамике взрыва и реагирующих систем. Т. 3. М.: изд. ВЦ АН СССР, 1974.

УДК 533.601.1

### ЭКСТРЕМАЛЬНЫЕ ВЕЛИЧИНЫ СОПРОТИВЛЕНИЯ ЦИЛИНДРА С УСТАНОВЛЕННЫМ ВПЕРЕДИ ДИСКОМ В СВЕРХЗВУКОВОМ ПОТОКЕ

И. А. Белов, Е. Ф. Жигалко  
(Ленинград)

Рассматривается осесимметричное обтекание сверхзвуковым потоком цилиндра диаметра  $D$  с установленным впереди на тонкой перемычке длиной  $l$  диском диаметра  $d < D$ . На диске происходит срыв потока, и вблизи поверхности тела появляется область циркуляционного течения, отделенная от внешнего потока зоной смешения, охватывающей некоторую «разделяющую поверхность тока», исходящую с кромки диска и попадающую на торец цилиндра.

Учитывая особенности исследуемого течения, решение поставленной задачи наиболее корректно строить в постановке на основе системы точных уравнений Навье — Стокса. Но при всей перспективности такого подхода даже для достаточно эффективных вычислительных алгоритмов решение уравнений Навье — Стокса для сжимаемой жидкости удается пока получить лишь при малых и средних числах Рейнольдса. Другой подход заключается в построении адекватной математической модели, которая по возможности учитывала бы основные характерные черты исследуемого течения.

В качестве такой приближенной модели выберем расчетную модель, в которой результат получается из применения численного метода «крупных частиц» [1, 2] к уравнениям, описывающим движение идеального газа — она воспроизводит срывное обтекание тела в процессе установления решения, соответствующего стационарному течению. Модель идеальной жидкости использована в ряде работ при исследовании отрывных течений, в том числе в передней части тела с иглой (см., например, [3, 4]). Среди мотивов, определяющих плодотворность применения расчетной модели, основным, по-видимому, является то, что такая модель надежно воспроизводит основные элементы течения вне циркуляционной зоны. Форма и размеры этой зоны определены в большой мере геометрией компоновки. Здесь размещается крупномасштабный единый вихрь, отделенный от стенок и внешнего потока сравнительно тонким вязким слоем, в котором поперечный градиент давления мал и который, по крайней мере начиная с некоторого значения числа Рейнольдса (по данным [5] с  $Re \geq 500$ ), не оказывает существенного влияния на распределение давления по поверхности обтекаемого тела. Можно ожидать, что для тела рассматриваемой компоновки при  $d < D$ ,  $l \sim D$  местное число Рейнольдса для течения в циркуляционной области будет доволь-